



METRO
MEtalurgiczny TRening *On-line*



Transport masy przed frontem krystalizacji kompozytu *in situ*

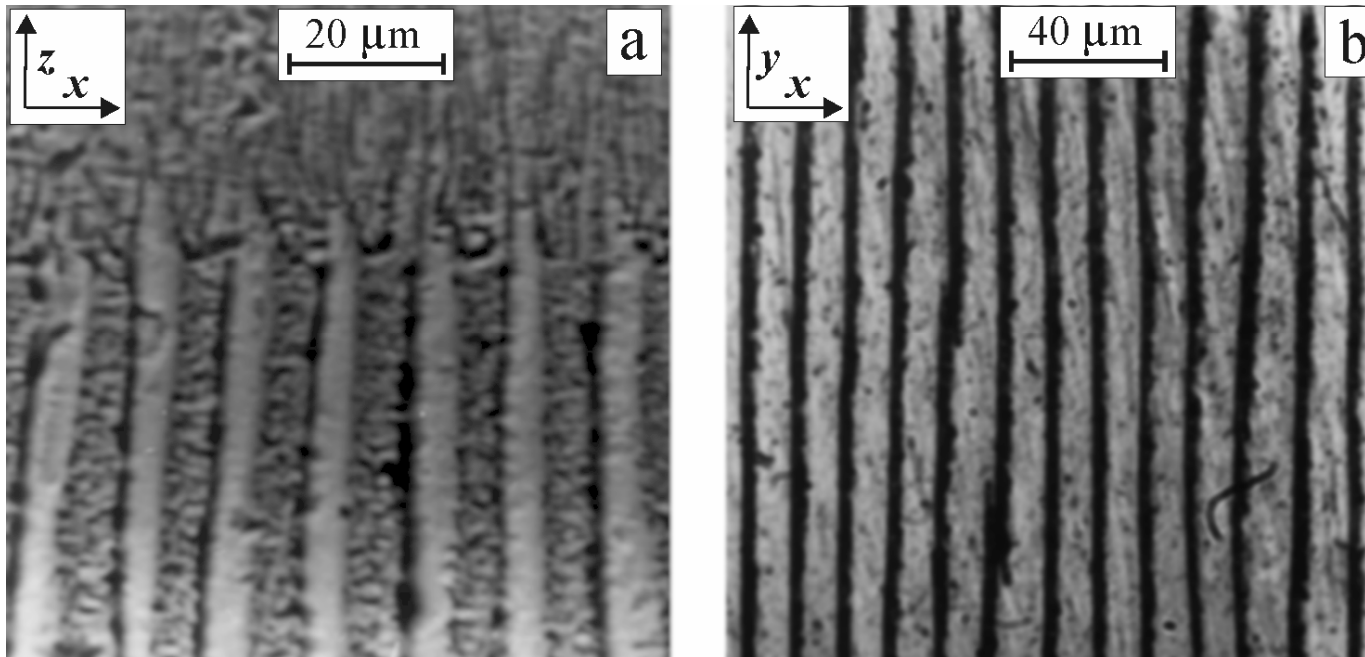
Waldemar Wołczyński
IMIM PAN



Edukacja i Kultura



Mikrostruktura rosnącego kompozytu *in situ*



RYS. 1

Zorientowany wzrost kompozytu *in situ* (Pb) – (Cd)
a/ zamrożony front krystalizacji
b/ typowa struktura rosnącego kompozytu *in situ* α / β



Warunki brzegowe zastosowane do rozwiązania równania dyfuzji według teorii **Jacksona-Hunta**



$$\nabla^2 C + \frac{v}{D} \frac{\partial C}{\partial z} = 0$$

$$\frac{\partial C}{\partial x} = 0$$

dla

$$x = 0$$

oraz

$$x = S_\alpha + S_\beta$$

$$\frac{\partial C}{\partial z} = -\frac{vC_0^\alpha}{D}$$

dla

$$0 \leq x < S_\alpha$$

$$\frac{\partial C}{\partial z} = +\frac{vC_0^\beta}{D}$$

dla

$$S_\alpha < x \leq S_\alpha + S_\beta$$

C – stężenie składnika w fazie ciekłej przed frontem krystalizacji
D – współczynnik dyfuzji w fazie ciekłej

K.A. Jackson, J.D. Hunt, Trans. AIME, **236**, 1129-1142, (1966)

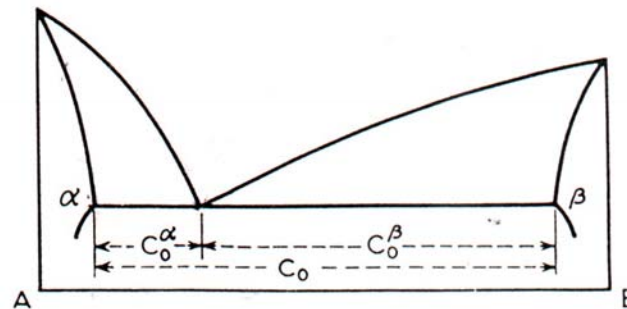
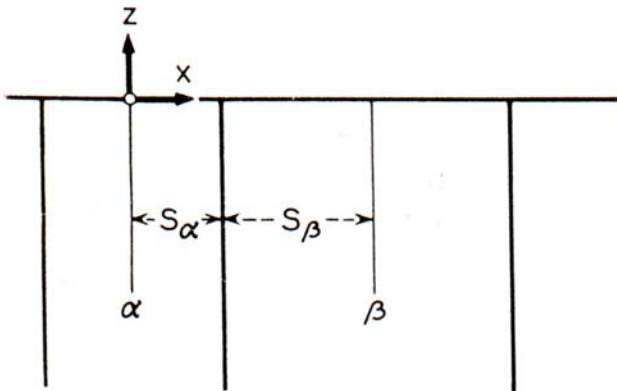


Rozwiązanie równania dyfuzji według teorii Jacksona - Huntta



$$C = C_E + C_\infty + \sum_{n=1}^{\infty} B_n \cos\left(\frac{\pi n x}{S_\alpha + S_\beta}\right) \exp\left(-\frac{\pi n z}{S_\alpha + S_\beta}\right)$$

przy



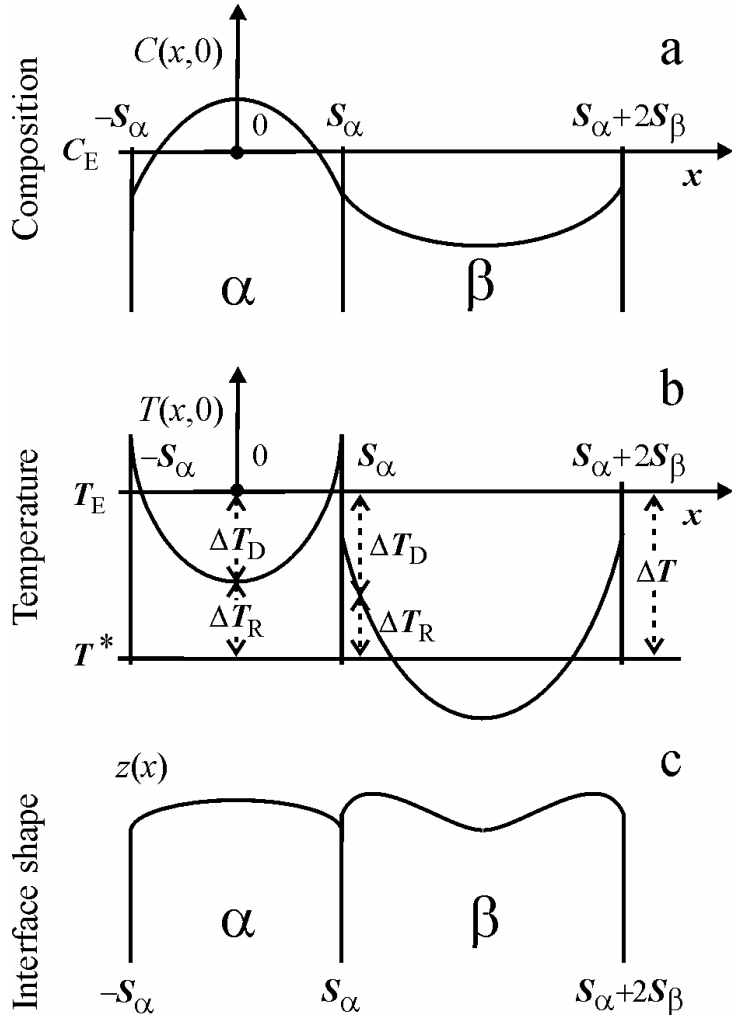
$$B_0 = \frac{C_0^\alpha S_\alpha - C_0^\beta S_\beta}{S_\alpha + S_\beta}$$

Wzrost kompozytu *in situ*:
 a/ płaski front krystalizacji według teorii J-H
 b/ diagram fazowy według teorii J-H

RYS. 2



Charakterystyka frontu krystalizacji według teorii Jacksona-Hunta



RYS.3

Niedoskonałości teorii J-H

a/ brak bilansu masy:

$C(x,0) - C_E$ dla płytki fazy α nie jest równe $C_E - C(x,0)$ dla płytki fazy β

b/ bilans masy jest spełniony jedynie dla $S_\alpha = S_\beta$ oraz $C_0^\alpha = C_0^\beta$,

c/ przechłodzenie przekracza różnicę $\Delta T = T^* - T_E$ wynikającą z koncepcji

idealnie sprzężonego wzrostu

d/ nieciągłość temperatury na granicy fazowej α / β

e/ nierealistyczna krzywizna frontu krystalizacji

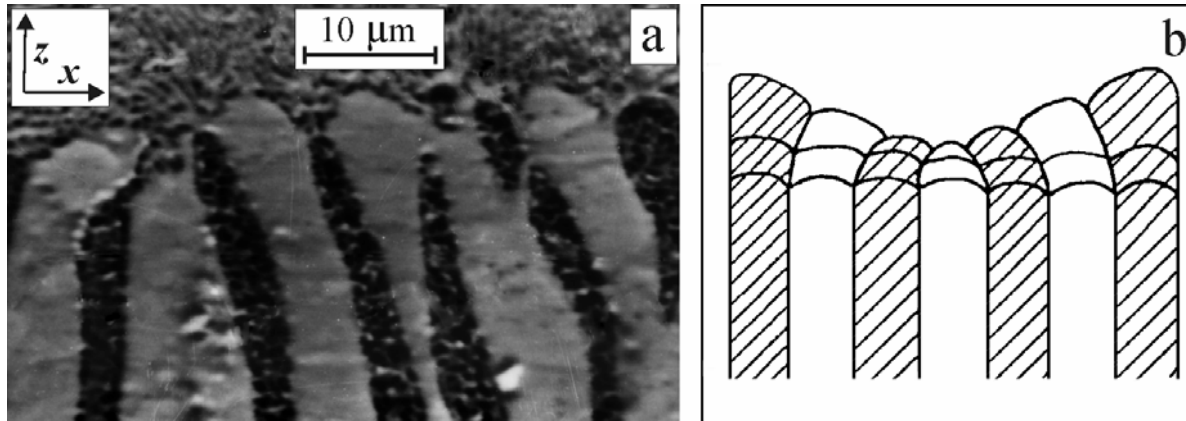
K.A. Jackson, J.D. Hunt, Trans. AIME, 236, 1129-1142, (1966)



Niestabilność frontu krystalizacji wynikająca z teorii Jacksona-Hunta



zgodnie ze schematem na RYS. 3a pewne obszary fazy α powinny rosnać z fazy ciekłej o stężeniu składnika właściwym raczej dla formowania się fazy β
to mogłoby prowadzić do zmian odległości między płytkowej i niestabilności frontu krystalizacji



RYS. 4

niestabilność frontu krystalizacji

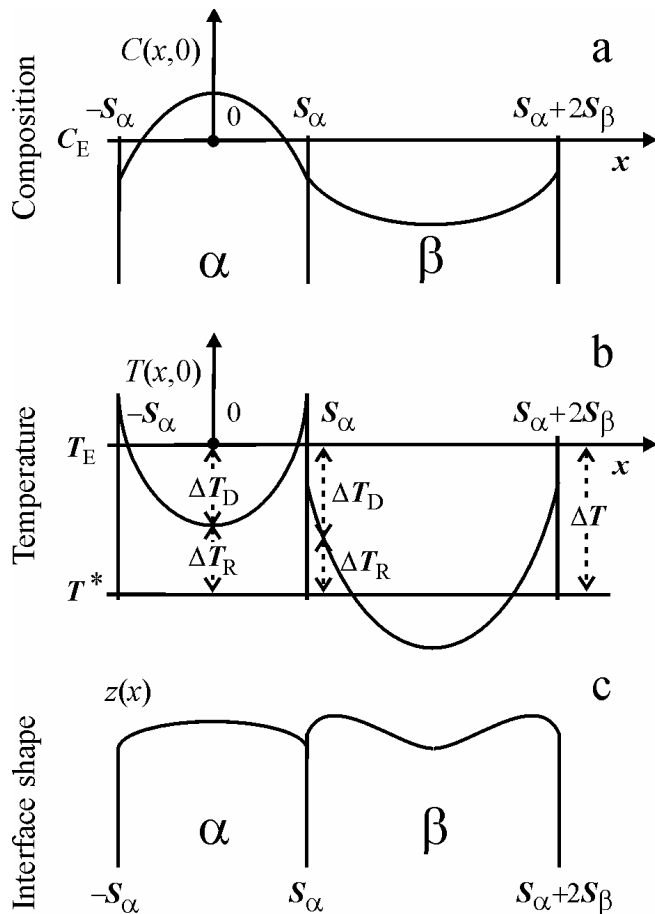
a/ zaobserwowana podczas wzrostu kompozytu *in situ*

b/ wnioskowana z teorii Jacksona-Hunta (jak wyżej)

K.A. Jackson, J.D. Hunt, Trans. AIME, **236**, 1129-1142, (1966)



Nierozdzielność mikropola stężenia według teorii Jacksona-Hunta



RYS.5

zgodnie z rozwiązaniem równania dyfuzji w/g J-H profil stężenia jest **wspólny** dla obydwu płytek kompozytu *in situ*

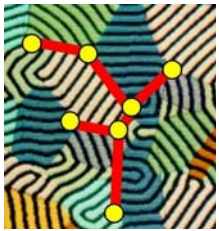
^założenie o nierozdzielności mikro-pola stężenia (w teorii Jacksona - Hunta) wspólnie z koncepcją *idealnie sprzężonego wzrostu* $\Delta T_\alpha^* = \Delta T_\beta^* = \Delta T$ powoduje nieciągłość przechłodzenia na granicy faz α / β ^co więcej, pewne partie płytek fazy α jak też fazy β powinny rosnać poza reżimem *idealnie sprzężonego wzrostu*

przechłodzenie

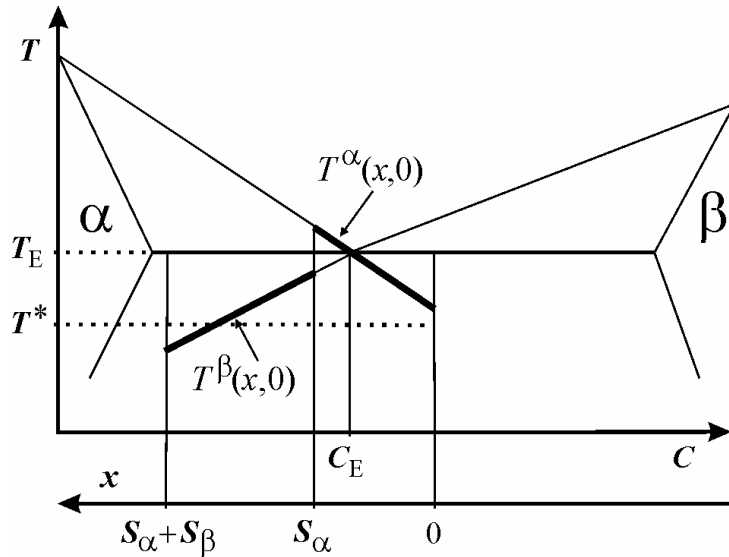
ΔT_D wynika ze zmian stężenia składnika

ΔT_R wynika z krzywizny frontu krystalizacji

K.A. Jackson, J.D. Hunt, Trans. AIME, **236**, 1129-1142, (1966)



Odniesienie teorii Jacksona-Hunta do diagramu fazowego



przechłodzenie całkowite: $\Delta T = T^* - T_E$

C	stężenie składnika
C_E	stężenie składnika w punkcie eutektycznym
s_α	połowa szerokości płytki fazy α
s_β	połowa szerokości płytki fazy β
T	temperatura równowagowa
$T^\alpha(x,z)$	temperatura równowagowa odpowiadająca zmianom stężenia składnika na froncie krystalizacji fazy α, ($z = 0$)
$T^\beta(x,z)$	temperatura równowagowa odpowiadająca zmianom stężenia składnika na froncie krystalizacji fazy β, ($z = 0$)
T^*	temperatura rzeczywista frontu krystalizacji
T_E	temperatura przemiany eutektycznej

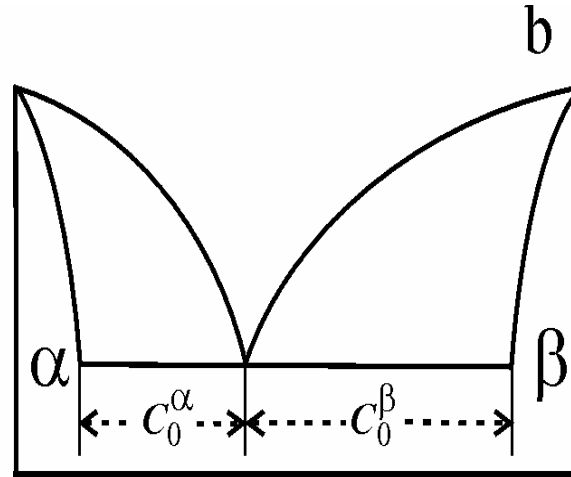
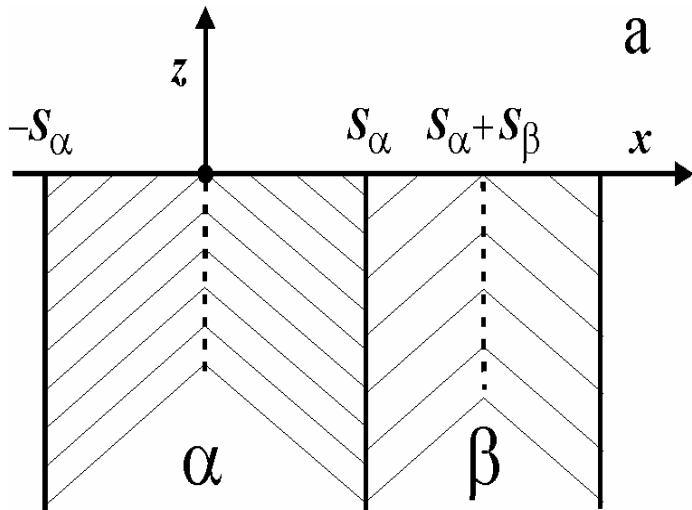
RYS.6

**przechłodzenie;
diagram fazowy**

K.A. Jackson, J.D. Hunt, Trans. AIME, 236, 1129-1142, (1966)



Próba korekcji teorii Jacksona-Hunta



teraz

$$C_0^\alpha S_\alpha = C_0^\beta S_\beta$$

stąd

RYS. 7

a/skorygowany płaski front krystalizacji
b/skorygowany diagram fazowy

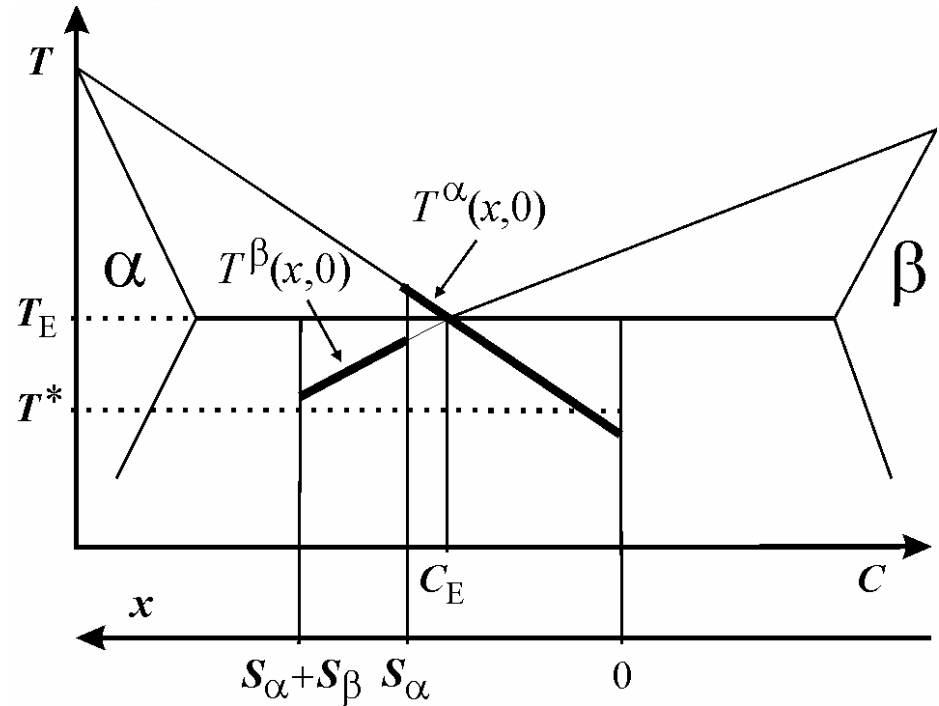
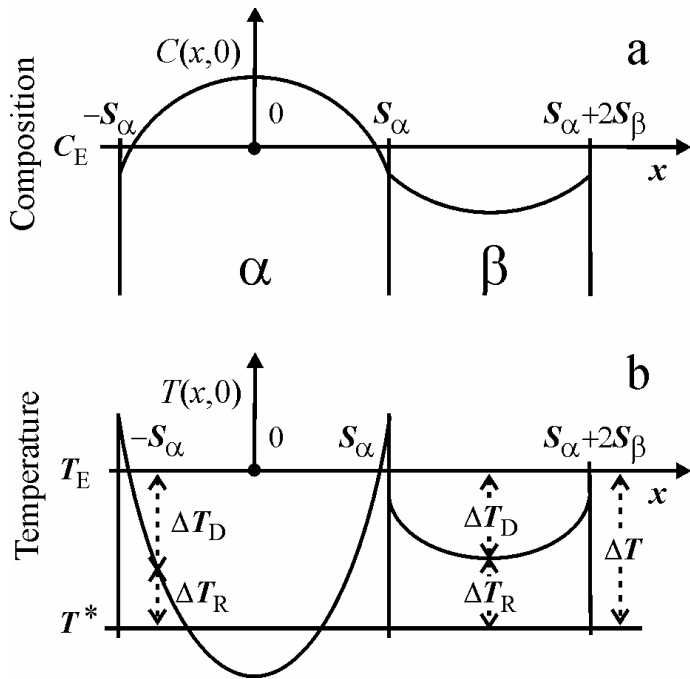
$$B_0 = \frac{C_0^\alpha S_\alpha - C_0^\beta S_\beta}{S_\alpha + S_\beta} = 0$$

$$C = C_E + C_\infty + \sum_{n=1}^{\infty} B_n \cos\left(\frac{\pi n x}{S_\alpha + S_\beta}\right) \exp\left(-\frac{\pi n z}{S_\alpha + S_\beta}\right)$$



Próba korekcji teorii Jacksona - Huntta

Stężenie składnika i przechłodzenie



RYS. 8 stężenie składnika i przechłodzenie

brak istotnej poprawy teorii J-H ! – co pokazuje RYS. 9 (do porównania ze schematem na RYS. 6)

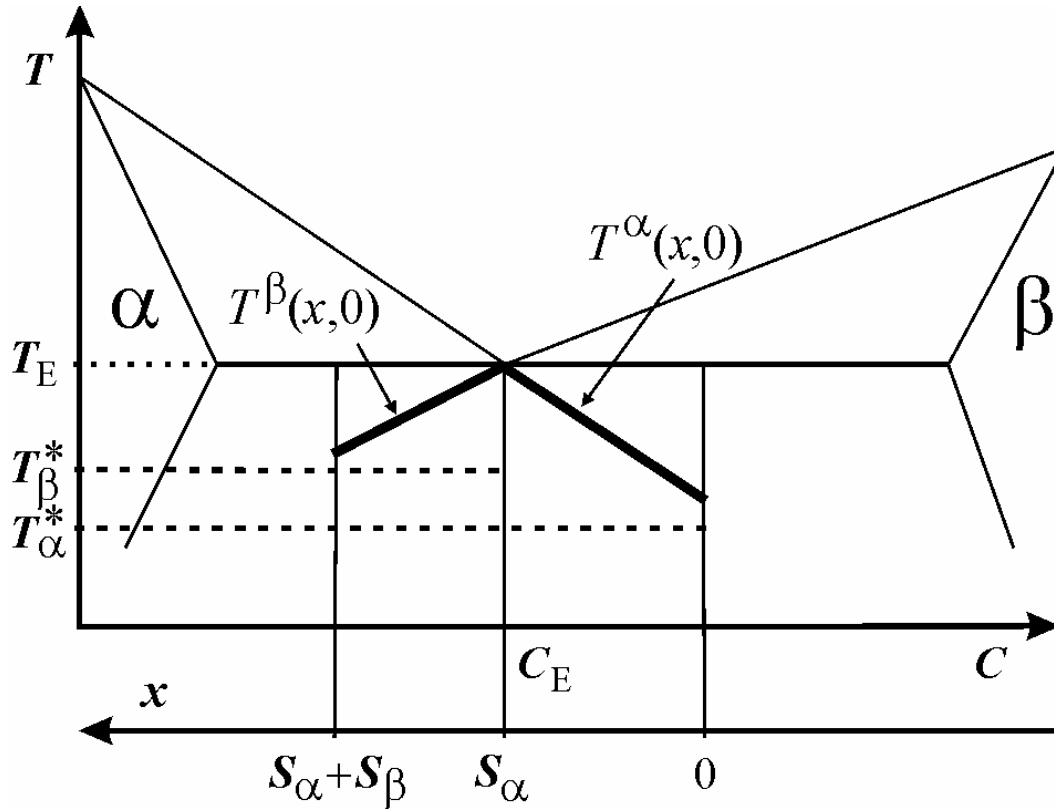
RYS. 9

przechłodzenie;
diagram fazowy



Podstawy prezentowanego modelu

Koncepcja *sprężonego wzrostu*



sprężony wzrost to nowa koncepcja by poprawić teorię J-H

$$\Delta T^*_\alpha = T^*_\alpha - T_E$$

$$\Delta T^*_\beta = T^*_\beta - T_E$$

RYS. 10

pożądana relacja: przechłodzenie diagram fazowy

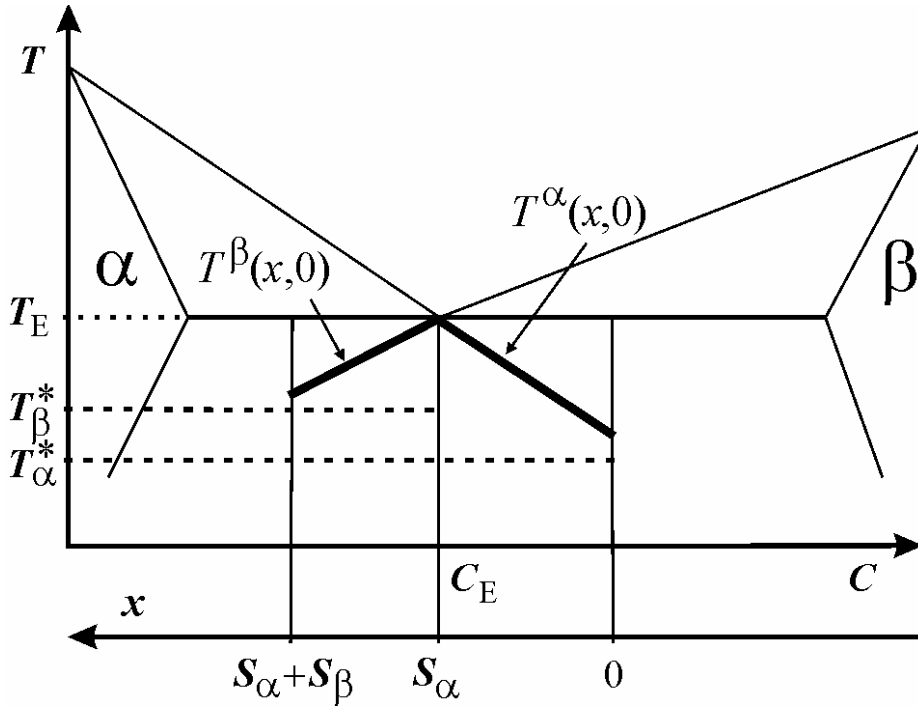
ale ogólnie



$$\Delta T^*_\alpha \neq \Delta T^*_\beta$$



Przechłodzenie frontu krystalizacji w świetle koncepcji *sprężonego wzrostu*



przechłodzenie krzywiznowe

$$\delta T_R^\alpha(x,0) = T_\alpha^* - T^\alpha(x,0)$$

$$\delta T_R^\beta(x,0) = T_\beta^* - T^\beta(x,0)$$

przechłodzenie – diagram fazowy

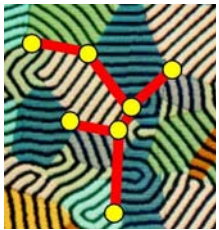
$$\delta T^\alpha(x,0) + \delta T_R^\alpha(x,0) = \Delta T_\alpha^*$$

$$\delta T^\beta(x,0) + \delta T_D^\beta(x,0) = \Delta T_\beta^*$$

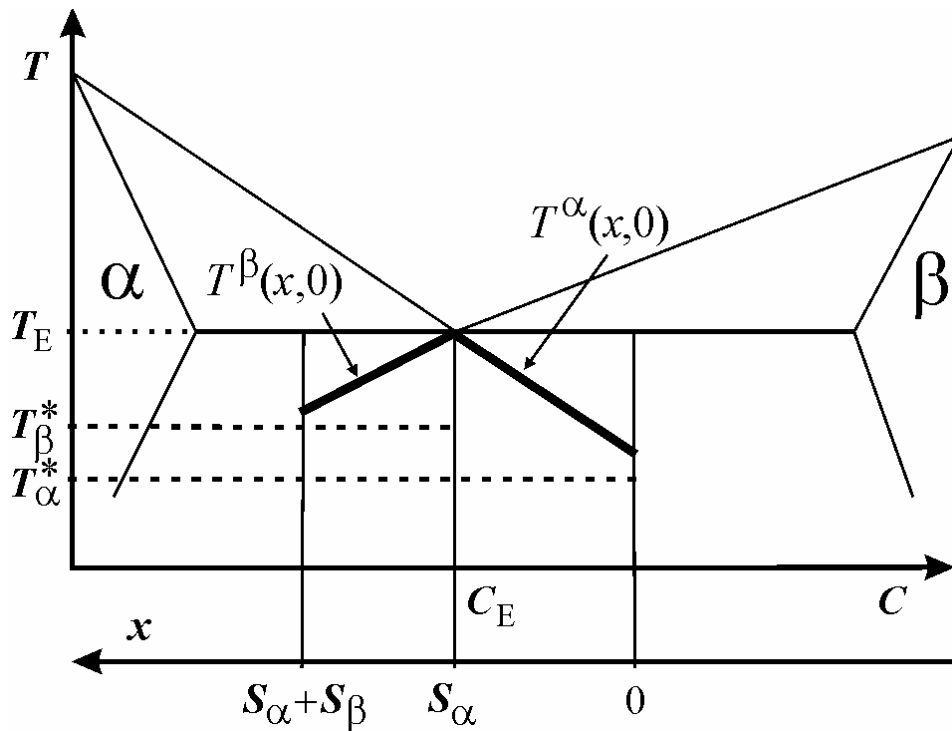
przechłodzenie całkowite



RYS. 11



Stężenie składnika w świetle koncepcji *sprzężonego wzrostu*



$$\delta C^\alpha(x,0) = C^\alpha(x,0) - C_E$$

$$\delta C^\beta(x,0) = C^\beta(x,0) - C_E$$

przechłodzenie – diagram fazowy

$$C_0^\alpha(s_\alpha,0) = C_S^\alpha(s_\alpha,0) - C_E < 0$$

$$C_0^\beta(s_\alpha,0) = C_S^\beta(s_\alpha,0) - C_E > 0$$

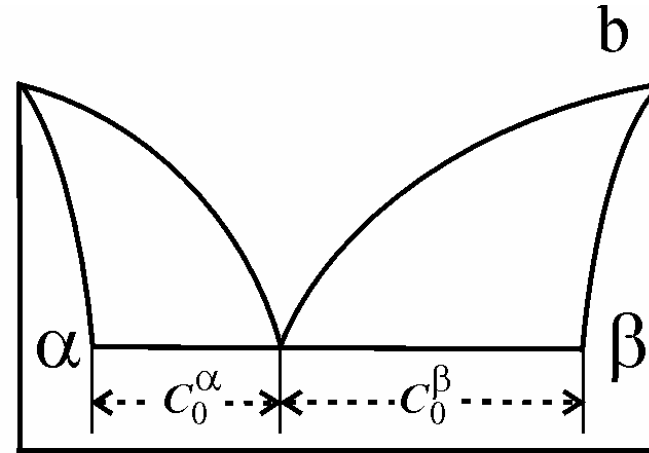
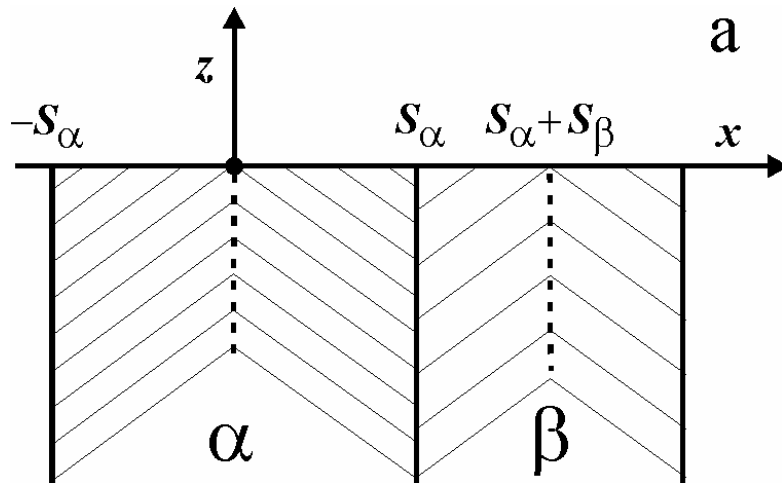
RYS. 12

w konsekwencji





Podstawy nowego rozwiązania w świetle koncepcji *sprzężonego wzrostu*



RYS. 13

*a/ płaski front krystalizacji
b/ odpowiadający mu diagram fazowy*

$$C_0^\alpha(S_\alpha, 0) = C_S^\alpha(S_\alpha, 0) - C_E < 0$$

$$C_0^\beta(S_\alpha, 0) = C_S^\beta(S_\alpha, 0) - C_E > 0$$



Równanie dyfuzji w świetle koncepcji *sprężonego wzrostu*



RYS. 14

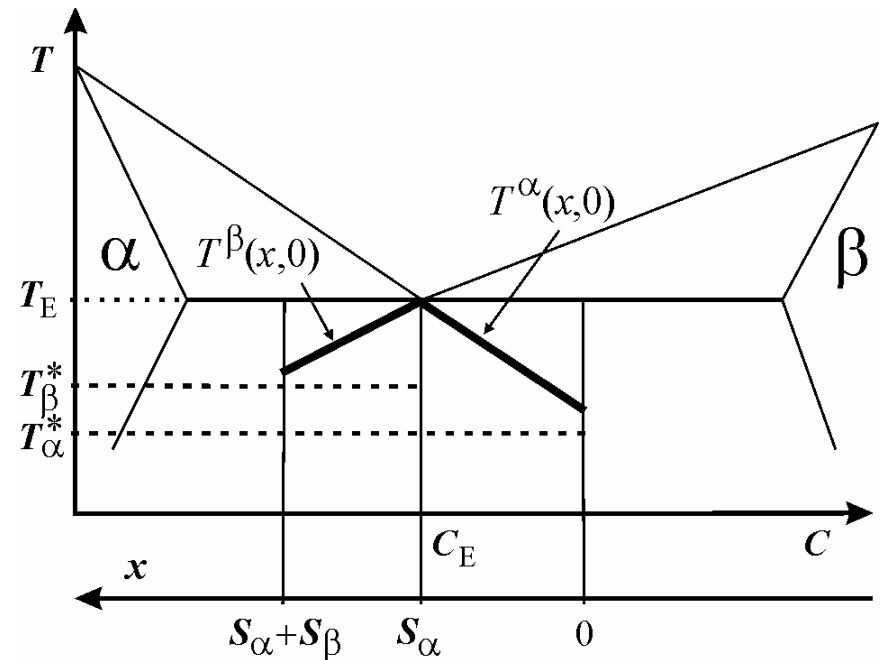
przechłodzenie – diagram fazowy

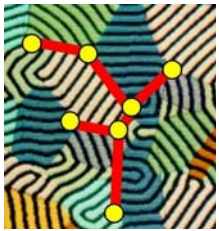
równanie dyfuzji:

$$\frac{\partial^2 \delta C}{\partial x^2} + \frac{\partial^2 \delta C}{\partial z^2} + \frac{v}{D} \frac{\partial \delta C}{\partial z} = 0$$

wraz z

$$\delta C(S_\alpha, z) = C(S_\alpha, z) - C_E = 0$$





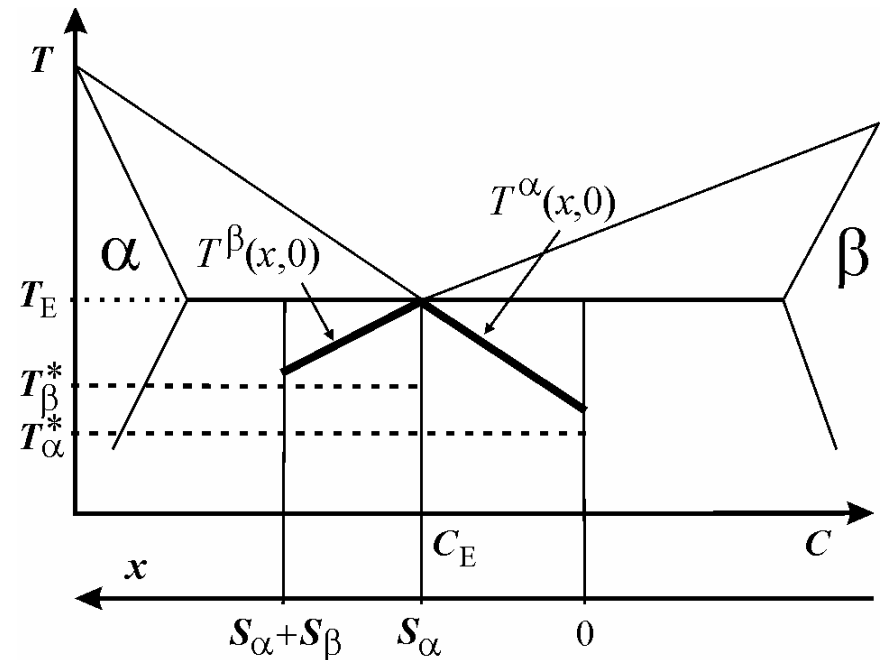
Założenia dla nowego rozwiązania równania dyfuzji

RYS. 15

*przechłodzenie;
diagram fazowy*

równanie dyfuzji:

$$\frac{\partial^2 \delta C}{\partial x^2} + \frac{\partial^2 \delta C}{\partial z^2} + \frac{v}{D} \frac{\partial \delta C}{\partial z} = 0$$



należy rozwiązać równanie dyfuzji w taki sposób aby:
a/ uwzględnić zachowanie frontu krystalizacji (zdefiniowane; RYS. 15)
b/ uzyskać rozwiązanie oddzielnie dla płytki fazy α i płytki fazy β



Ogólne rozwiązanie równania dyfuzji



równanie dyfuzji:

$$\frac{\partial^2 \delta C}{\partial x^2} + \frac{\partial^2 \delta C}{\partial z^2} + \frac{v}{D} \frac{\partial \delta C}{\partial z} = 0$$

ogólne rozwiązanie równania dyfuzji sformułowanego stosownie do koncepcji *sprzężonego wzrostu* jest dane iloczynem dwu funkcji:

$$\delta C(x, z) = X(x) Z(z)$$



Rozwiązanie równania dyfuzji Sformułowania szczegółowe



ogólne rozwiązanie równania dyfuzji sformułowane stosownie do koncepcji **sprężonego wzrostu** jest dane następująco:

$$\delta C(x, z) = X(x) Z(z)$$

gdzie

$$X(x) = A \cos(\omega x) + B \sin(\omega x)$$

$$Z(z) = \exp \left[\left(-\frac{v}{2D} - \sqrt{\frac{v^2}{4D^2} + \omega^2} \right) z \right]$$

A, B, ω – parametry, które należy zdefiniować



Definicja szukanych parametrów



A, B, ω – parametry, które należy zdefiniować

definicje powinny być dane oddzielnie

a/ dla płytki fazy α

$$x \in [0, S_\alpha] \quad z \geq 0$$

wartości B oraz ω wynikają z warunków a/ oraz b/:

$$\text{a/} \quad \left. \frac{\partial \delta C(x, z)}{\partial x} \right|_{x=0} = 0$$

oraz

b/

$$\delta C(S_\alpha, z) = 0$$

z a/

$$-\omega A \sin(\omega \cdot 0) + \omega B \cos(\omega \cdot 0) = 0$$

wynika

$$B = 0$$

z a/ oraz b/

$$A \cos(\omega S_\alpha) = 0$$

a także

$$\omega = \omega_{2n-1} = \frac{(2n-1)\pi}{2S_\alpha}, \quad n = 1, 2, \dots$$



Szczegółowe rozwiązanie równania dyfuzji



a/ dla płytki fazy α

$$x \in [0, S_\alpha] \quad z \geq 0$$

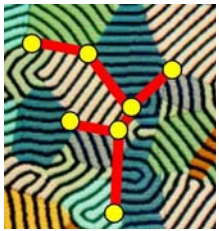
szczegółowe rozwiązanie jest, jak następuje:

$$\delta C(x, z) = \sum_{n=1}^{\infty} A_{2n-1} \cos\left(\frac{(2n-1)\pi x}{2S_\alpha}\right) \exp\left[\left(-\frac{v}{2D} - \sqrt{\frac{v^2}{4D^2} + \left(\frac{(2n-1)\pi}{2S_\alpha}\right)^2}\right) z\right]$$

gdzie

$$A_{2n-1}$$

są stałymi



Krystalizacja wolna

Rozwiązanie równania dyfuzji



jest oczywistym, że dla krystalizacji wolnej:

$$\frac{(2n-1)\pi}{2S_\alpha} \gg \frac{v}{2D}$$

a/ dla płytki fazy α

$$x \in [0, S_\alpha] \quad z \geq 0$$

$$\delta C(x, z) = \sum_{n=1}^{\infty} A_{2n-1} \cos\left(\frac{(2n-1)\pi x}{2S_\alpha}\right) \exp\left[\left(-\frac{v}{2D} - \sqrt{\frac{v^2}{4D^2} + \left(\frac{(2n-1)\pi}{2S_\alpha}\right)^2}\right) z\right]$$

redukuje się do

$$\delta C(x, z) = \sum_{n=1}^{\infty} A_{2n-1} \cos\left(\frac{(2n-1)\pi x}{2S_\alpha}\right) \exp\left(-\frac{(2n-1)\pi}{2S_\alpha} z\right)$$



Parametry A_{2n-1}



wartości parametrów A_{2n-1} są obliczone po zastosowaniu warunku:

$$\left. \frac{\partial \delta C(x, z)}{\partial z} \right|_{z=0} = f_\alpha(x); \quad f_\alpha(x) < 0, \quad x \in [0, S_\alpha]$$

dla

a/ mikro-pola stężenia składnika dla krystalizacji szybkiej

$$\left. \frac{\partial \delta C(x, z)}{\partial z} \right|_{z=0} = \sum_{n=1}^{\infty} A_{2n-1} \left(-\frac{v}{2D} - \sqrt{\frac{v^2}{4D^2} + \left(\frac{(2n-1)\pi}{2S_\alpha} \right)^2} \right) \cos \left(\frac{(2n-1)\pi x}{2S_\alpha} \right)$$

b/ mikro-pola stężenia składnika dla krystalizacji wolnej

$$\left. \frac{\partial \delta C(x, z)}{\partial z} \right|_{z=0} = \sum_{n=1}^{\infty} A_{2n-1} \left(-\frac{(2n-1)\pi}{2S_\alpha} \right) \cos \left(\frac{(2n-1)\pi x}{2S_\alpha} \right)$$



Zastosowanie funkcji $f(x)$

dotatkowo, wprowadzona zostaje nowa funkcja $f(x)$:

$$f(x), \quad -2S_\alpha \leq x \leq 2S_\alpha, \quad f(-x) = f(x), \quad f(x + 2S_\alpha) = -f(x)$$

zastosowanie znajduje następująca własność funkcji $f(x)$

$$f(x) \approx \frac{a_0}{2} + \sum_{n=1}^{\infty} a_n \cos\left(\frac{n\pi x}{2S_\alpha}\right)$$

gdzie

$$a_n = \frac{1}{S_\alpha} \int_0^{2S_\alpha} f(x) \cos\left(\frac{n\pi x}{2S_\alpha}\right) dx$$



$f(x)$



ponieważ:

$$f(x + 2S_\alpha) = -f(x)$$

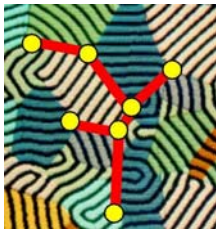
dla

$$n = 2k$$

$$k = 0, 1, 2, \dots$$

zatem:

$$\begin{aligned} a_{2k} &= \frac{1}{S_\alpha} \int_0^{2S_\alpha} f(x) \cos\left(\frac{2k\pi x}{2S_\alpha}\right) dx = \\ &= \frac{1}{S_\alpha} \left(\int_0^{S_\alpha} f(x) \cos\left(\frac{2k\pi x}{2S_\alpha}\right) dx + \int_{S_\alpha}^{2S_\alpha} f(x) \cos\left(\frac{2k\pi x}{2S_\alpha}\right) dx \right) = \\ &= \frac{1}{S_\alpha} \left(\int_0^{S_\alpha} f(x) \cos\left(\frac{2k\pi x}{2S_\alpha}\right) dx + \int_{-S_\alpha}^0 f(x + 2S_\alpha) \cos\left(\frac{2k\pi(x + 2S_\alpha)}{2S_\alpha}\right) dx \right) = \\ &= \frac{1}{S_\alpha} \left(\int_0^{S_\alpha} f(x) \cos\left(\frac{2k\pi x}{2S_\alpha}\right) dx - \int_{-S_\alpha}^0 f(x) \cos\left(\frac{2k\pi x}{2S_\alpha}\right) dx \right) = \\ &= \frac{1}{S_\alpha} \left(\int_0^{S_\alpha} f(x) \cos\left(\frac{2k\pi x}{2S_\alpha}\right) dx + \int_0^{-S_\alpha} f(x) \cos\left(\frac{2k\pi x}{2S_\alpha}\right) dx \right) = \\ &= \frac{1}{S_\alpha} \left(\int_0^{S_\alpha} f(x) \cos\left(\frac{2k\pi x}{2S_\alpha}\right) dx + \int_0^{S_\alpha} f(-x) \cos\left(\frac{-2k\pi x}{2S_\alpha}\right) d(-x) \right) = \\ &= \frac{1}{S_\alpha} \left(\int_0^{S_\alpha} f(x) \cos\left(\frac{2k\pi x}{2S_\alpha}\right) dx - \int_0^{S_\alpha} f(x) \cos\left(\frac{2k\pi x}{2S_\alpha}\right) dx \right) = 0 \end{aligned}$$



$f(x)$



ponieważ:

$$f(x + 2S_\alpha) = -f(x)$$

dla

$$n = 2k - 1, k = 1, 2, \dots$$

zatem:

$$\begin{aligned} a_{2k-1} &= \frac{1}{S_\alpha} \int_0^{2S_\alpha} f(x) \cos\left(\frac{(2k-1)\pi x}{2S_\alpha}\right) dx = \\ &= \frac{1}{S_\alpha} \left(\int_0^{S_\alpha} f(x) \cos\left(\frac{(2k-1)\pi x}{2S_\alpha}\right) dx + \int_{S_\alpha}^{2S_\alpha} f(x) \cos\left(\frac{(2k-1)\pi x}{2S_\alpha}\right) dx \right) = \\ &= \frac{1}{S_\alpha} \left(\int_0^{S_\alpha} f(x) \cos\left(\frac{(2k-1)\pi x}{2S_\alpha}\right) dx + \int_{-S_\alpha}^0 f(x+2S_\alpha) \cos\left(\frac{(2k-1)\pi(x+2S_\alpha)}{2S_\alpha}\right) dx \right) = \\ &= \frac{1}{S_\alpha} \left(\int_0^{S_\alpha} f(x) \cos\left(\frac{(2k-1)\pi x}{2S_\alpha}\right) dx - \int_{-S_\alpha}^0 f(x) \cos\left(\frac{(2k-1)\pi x}{2S_\alpha} + 2k\pi + \pi\right) dx \right) = \\ &= \frac{1}{S_\alpha} \left(\int_0^{S_\alpha} f(x) \cos\left(\frac{(2k-1)\pi x}{2S_\alpha}\right) dx + \int_{-S_\alpha}^0 f(x) \cos\left(\frac{(2k-1)\pi x}{2S_\alpha}\right) dx \right) = \\ &= \frac{1}{S_\alpha} \left(\int_0^{S_\alpha} f(x) \cos\left(\frac{(2k-1)\pi x}{2S_\alpha}\right) dx - \int_0^{-S_\alpha} f(x) \cos\left(\frac{(2k-1)\pi x}{2S_\alpha}\right) dx \right) = \\ &= \frac{1}{S_\alpha} \left(\int_0^{S_\alpha} f(x) \cos\left(\frac{(2k-1)\pi x}{2S_\alpha}\right) dx - \int_0^{S_\alpha} f(-x) \cos\left(\frac{-(2k-1)\pi x}{2S_\alpha}\right) d(-x) \right) = \\ &= \frac{2}{S_\alpha} \int_0^{S_\alpha} f(x) \cos\left(\frac{(2k-1)\pi x}{2S_\alpha}\right) dx \end{aligned}$$



Wynik zastosowania funkcji $f(x)$

jeśli przyjąć:

$$f(x + 2S_\alpha) = -f(x)$$

to wtedy

$$a_{2k} = 0$$

$$k = 0, 1, 2, \dots$$

dla

$$n = 2k$$

oraz

$$a_{2k-1} = \frac{2}{S_\alpha} \int_0^{S_\alpha} f(x) \cos\left(\frac{(2k-1)\pi x}{2S_\alpha}\right) dx$$

dla

$$n = 2k - 1, k = 1, 2, \dots$$

ostatecznie, szereg *Fouriera* dla $f(x)$ jest:

$$f(x) \approx \sum_{k=1}^{\infty} a_{2k-1} \cos\left(\frac{(2k-1)\pi x}{2S_\alpha}\right)$$



Ostateczna definicja parametrów A_{2n-1}



dla krystalizacji szybkiej:

$$A_{2n-1} = \left(-\frac{v}{2D} - \sqrt{\frac{v^2}{4D^2} + \left(\frac{(2n-1)\pi}{2S_\alpha} \right)^2} \right)^{-1} \frac{2}{S_\alpha} \int_0^{S_\alpha} f_\alpha(x) \cos\left(\frac{(2n-1)\pi x}{2S_\alpha} \right) dx$$

dla krystalizacji wolnej:

$n = 1, 2, \dots$

$$A_{2n-1} = -\frac{4}{(2n-1)\pi} \int_0^{S_\alpha} f_\alpha(x) \cos\left(\frac{(2n-1)\pi x}{2S_\alpha} \right) dx$$

$n = 1, 2, \dots$



Własności rozwiązania równania dyfuzji

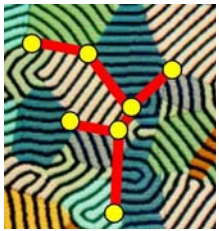


$$\left. \frac{\partial \delta C(x, z)}{\partial x} \right|_{x=0} = \left. \frac{\partial \delta C(x, z)}{\partial x} \right|_{x=2S_\alpha} = 0 \quad x \in [0, S_\alpha]$$

$$\left. \frac{\partial \delta C(x, z)}{\partial z} \right|_{z=0} = f_\alpha(x) = f_\alpha(-x) = -f_\alpha(-x + 2S_\alpha) = - \left. \frac{\partial \delta C(-x + 2S_\alpha, z)}{\partial z} \right|_{z=0}$$

zgodnie z założeniem:

$$f_\alpha(-x) = f_\alpha(x), \quad f_\alpha(x + 2S_\alpha) = -f_\alpha(x)$$



Rozwiązanie równania dyfuzji



b/ dla płytki fazy β

$$x \in [S_\alpha, S_\alpha + S_\beta]$$

$$z \geq 0$$

krystalizacja szybka

$$\delta C(x, z) =$$

$$\sum_{n=1}^{\infty} B_{2n-1} \cos\left(\frac{(2n-1)\pi(x - S_\alpha + S_\beta)}{2S_\beta}\right) \exp\left[\left(-\frac{v}{2D} - \sqrt{\frac{v^2}{4D^2} + \left(\frac{(2n-1)\pi}{2S_\beta}\right)^2}\right)z\right]$$

przy

$$B_{2n-1} = \left(-\frac{v}{2D} - \sqrt{\frac{v^2}{4D^2} + \left(\frac{(2n+1)\pi}{2S_\beta}\right)^2}\right)^{-1} \frac{2}{S_\beta} \int_{S_\alpha - S_\beta}^{S_\alpha} f_\beta(x) \cos\left(\frac{(2n+1)\pi(x - S_\alpha + S_\beta)}{2S_\beta}\right) dx$$



Rozwiązanie równania dyfuzji



b/ dla płytki fazy β

$$x \in [S_\alpha, S_\alpha + S_\beta] \quad z \geq 0$$

krystalizacja wolna

$$\delta C(x, z) = \sum_{n=1}^{\infty} B_{2n-1} \cos\left(\frac{(2n-1)\pi(x - S_\alpha + S_\beta)}{2S_\beta}\right) \exp\left(-\frac{(2n-1)\pi}{2S_\beta} z\right)$$

$$B_{2n-1} = -\frac{4}{(2n-1)\pi} \int_{S_\alpha - S_\beta}^{S_\alpha} f_\beta(x) \cos\left(\frac{(2n-1)\pi(x - S_\alpha + S_\beta)}{2S_\beta}\right) dx$$

$n = 1, 2, \dots$

natomiast

$$\left. \frac{\partial \delta C(x, z)}{\partial z} \right|_{z=0} = f_\beta(x), \quad x \in [0, S_\beta]$$



Prezentacja rozwiązania równania dyfuzji



a/ dla płytki fazy α

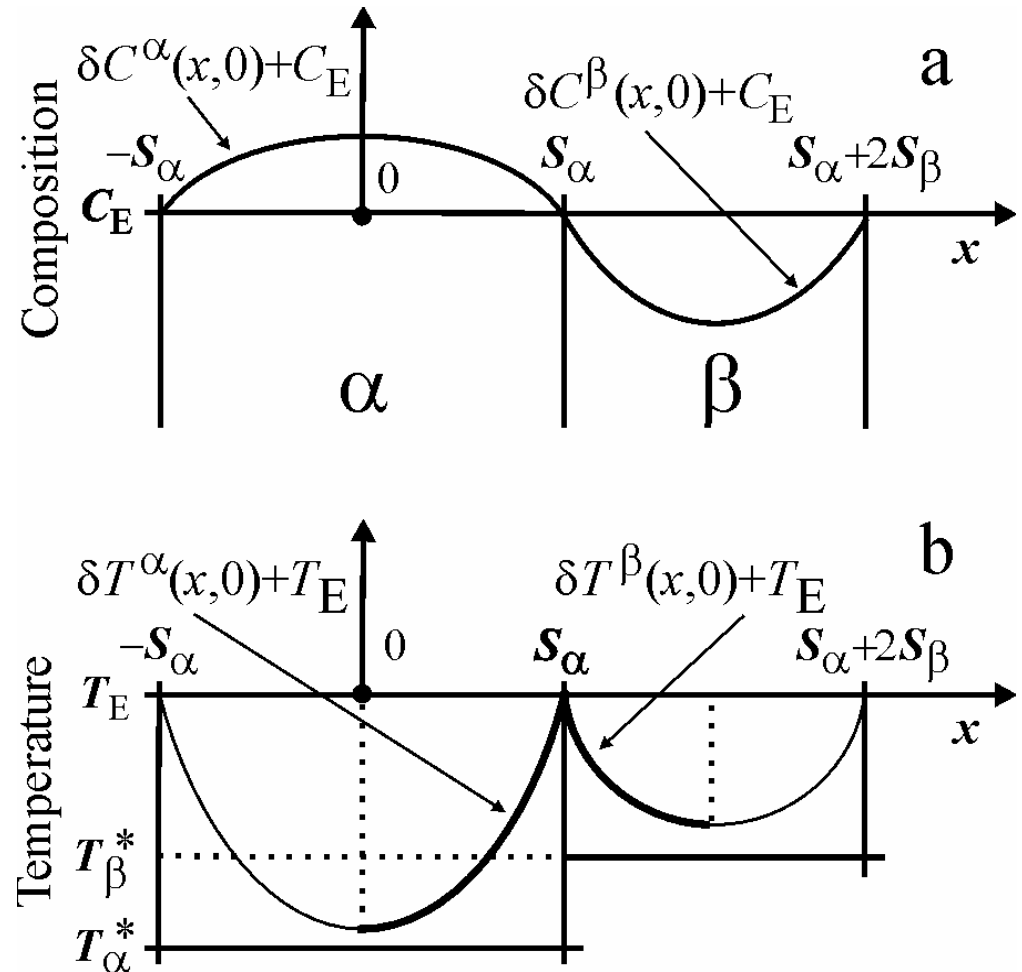
$$x \in [0, S_\alpha] \quad z = 0$$

b/ dla płytki fazy β

$$x \in [S_\alpha, S_\alpha + S_\beta] \quad z = 0$$

RYS. 16

mikro-pole stężenia składnika przechłodzenie





Globalny bilans masy dla mikro-pola stężenia składnika



$$\int_0^{\infty} \int_0^{S_\alpha} \delta C(x, z) dx dz + \int_0^{\infty} \int_{S_\alpha}^{S_\alpha+S_\beta} \delta C(x, z) dx dz + = \sum_{n=1}^{\infty} \frac{4(-1)^{n-1} D}{(2n-1)\pi}$$

$$\left(\frac{A_{2n-1} S_\alpha^2}{vS_\alpha + \sqrt{v^2 S_\alpha^2 + (2n-1)^2 D^2 \pi^2}} - \frac{B_{2n-1} S_\beta^2}{vS_\beta + \sqrt{v^2 S_\beta^2 + (2n-1)^2 D^2 \pi^2}} \right) = 0$$

$$B_{2n-1} = \frac{A_{2n-1} S_\alpha^2 \left(vS_\beta + \sqrt{v^2 S_\beta^2 + (2n-1)^2 D^2 \pi^2} \right)}{S_\beta^2 \left(vS_\alpha + \sqrt{v^2 S_\alpha^2 + (2n-1)^2 D^2 \pi^2} \right)}, \quad n = 1, 2, \dots$$

dla krystalizacji szybkiej



dla krystalizacji wolnej



$$B_{2n-1} = A_{2n-1} \left(\frac{S_\alpha}{S_\beta} \right)^2, \quad n = 1, 2, \dots$$

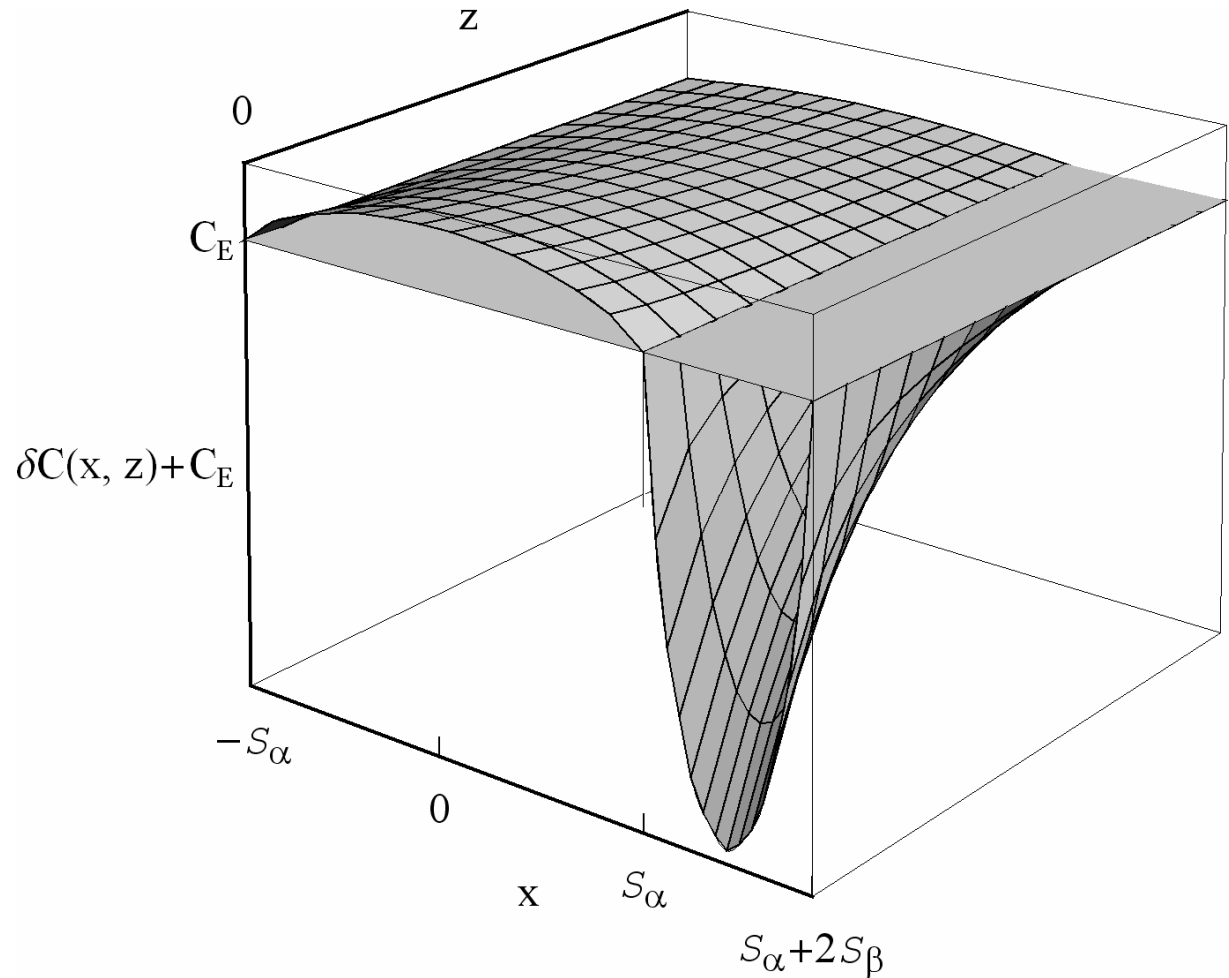


Wizualizacja globalnego bilansu masy dla mikro-pola stężenia składnika



RYS. 17

bilans masy obliczony dla płaskiego frontu krystalizacji





Lokalny bilans masy dla mikro-pola stężenia składnika



lokalny bilans masy jest spełniony przy $z = 0$ dla płytki fazy α oraz przy $z = d$ dla płytki fazy β

$$\int_0^{S_\alpha} \delta C(x, 0) dx + \int_{S_\alpha}^{S_\alpha + S_\beta} \delta C(x, d) dx = 0$$

po pewnych przekształceniach

$$\sum_{n=1}^{\infty} A_{2n-1} \frac{2S_\alpha (-1)^{n-1}}{(2n-1)\pi} - \sum_{n=1}^{\infty} B_{2n-1} \frac{2S_\beta (-1)^{n-1}}{(2n-1)\pi} \exp\left(-\frac{vS_\beta + \sqrt{v^2 S_\beta^2 + (2n-1)^2 D^2 \pi^2}}{2DS_\beta} d\right) = 0$$

d - wyprzedzenie fazowe

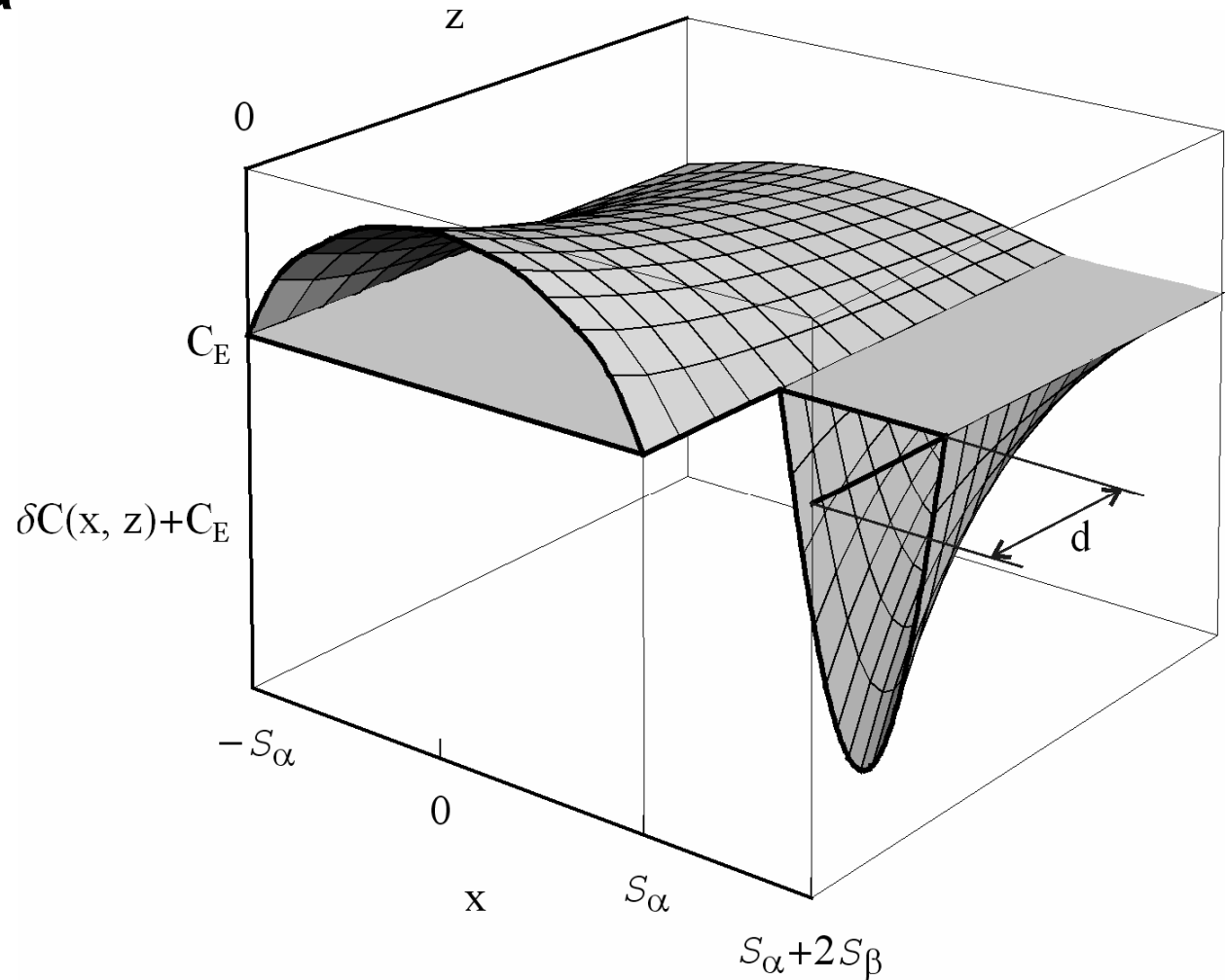


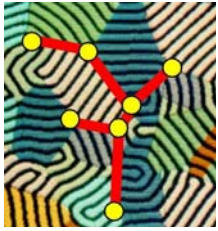
Wizualizacja graficzna lokalnego bilansu masy dla mikro-pola stężenia składnika



RYS. 18

wyprzedzenie, d ,
jest
fazą przejściową;
posiada własności
fazy ciekłej
ale
strukturę
fazy stałej





Definicja wyprzedzenia fazowego

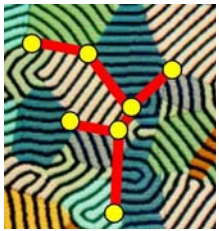


krystalizacja szybka

$$\sum_{n=1}^{\infty} A_{2n-1} \frac{(-1)^{n-1}}{(2n-1)} \times \left(1 - \frac{S_{\alpha} \left(vS_{\beta} + \sqrt{v^2 S_{\beta}^2 + (2n-1)^2 D^2 \pi^2} \right)}{S_{\beta} \left(vS_{\alpha} + \sqrt{v^2 S_{\alpha}^2 + (2n-1)^2 D^2 \pi^2} \right)} \right) \exp \left(- \frac{vS_{\beta} + \sqrt{v^2 S_{\beta}^2 + (2n-1)^2 D^2 \pi^2}}{2DS_{\beta}} d \right) = 0$$

krystalizacja wolna

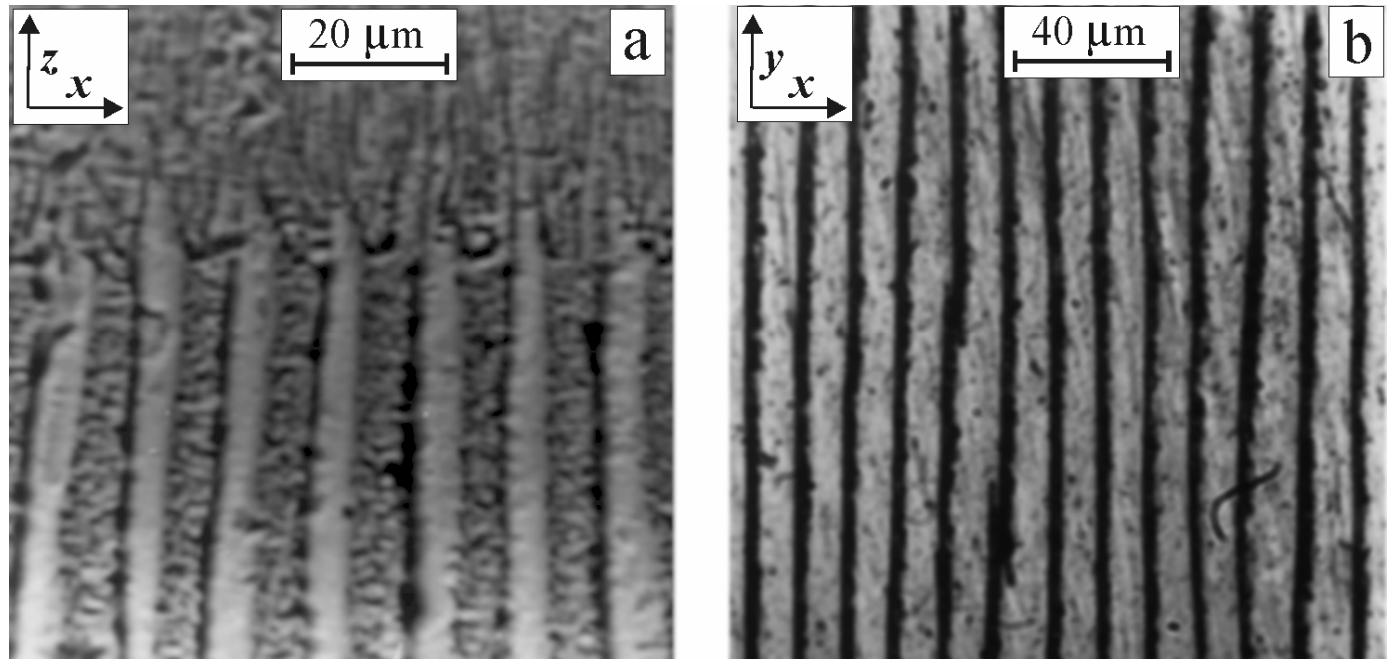
$$\sum_{n=1}^{\infty} A_{2n-1} \frac{(-1)^{n-1}}{(2n-1)} \left(1 - \frac{S_{\alpha}}{S_{\beta}} \exp \left(- \frac{(2n-1)\pi}{2S_{\beta}} d \right) \right) = 0$$



Potwierdzenie istnienia wyprzedzenia fazowego

RYS. 19

zorientowany
wzrost
kompozytu
in situ
(Pb) – (Cd)



**widoczne wyprzedzenie fazowe na zamrożonym froncie
krystalizacji, RYS. 19a** **faza wiodąca – faza (Cd)**



Bilans masy dla granicy międzyfazowej α / β



bilans masy dla frontu krystalizacji wymaga aby

$$S_\alpha \frac{\partial \delta C^\alpha(x, 0)}{\partial z} = S_\alpha \frac{v}{D} (1 - k_\alpha) C^\alpha(x, 0)$$

$$x \in [0, S_\alpha]$$

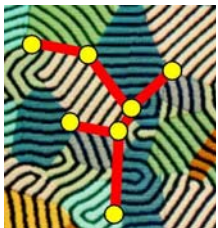
$$S_\beta \frac{\partial \delta C^\beta(x, d)}{\partial z} = S_\beta \frac{v}{D} (1 - k_\beta) C^\beta(x, d)$$

$$x \in [S_\alpha, S_\alpha + S_\beta]$$

bilans masy dla granicy międzyfazowej α / β może być zapisany jako:

$$\lim_{x \rightarrow S_\alpha^-} S_\alpha \frac{\partial \delta C^\alpha(x, 0)}{\partial z} + \lim_{x \rightarrow S_\alpha^+} S_\beta \frac{\partial \delta C^\beta(x, d)}{\partial z} =$$

$$S_\alpha \frac{v}{D} C_0^\alpha(S_\alpha, 0) + S_\beta \frac{v}{D} C_0^\beta(S_\alpha, d) = \frac{v}{D} \left(S_\alpha C_0^\alpha(S_\alpha, 0) + S_\beta C_0^\beta(S_\alpha, d) \right) = 0$$



Potrójny punkt frontu krystalizacji

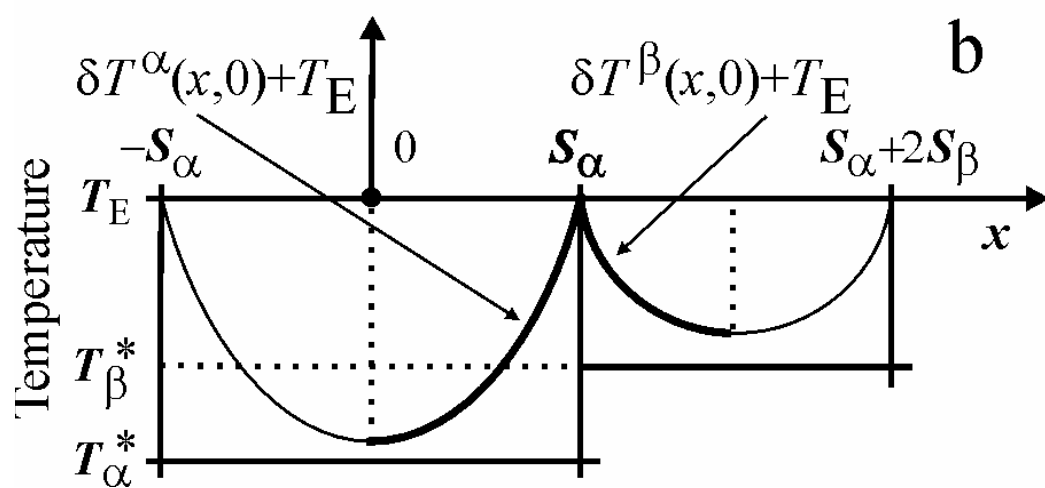
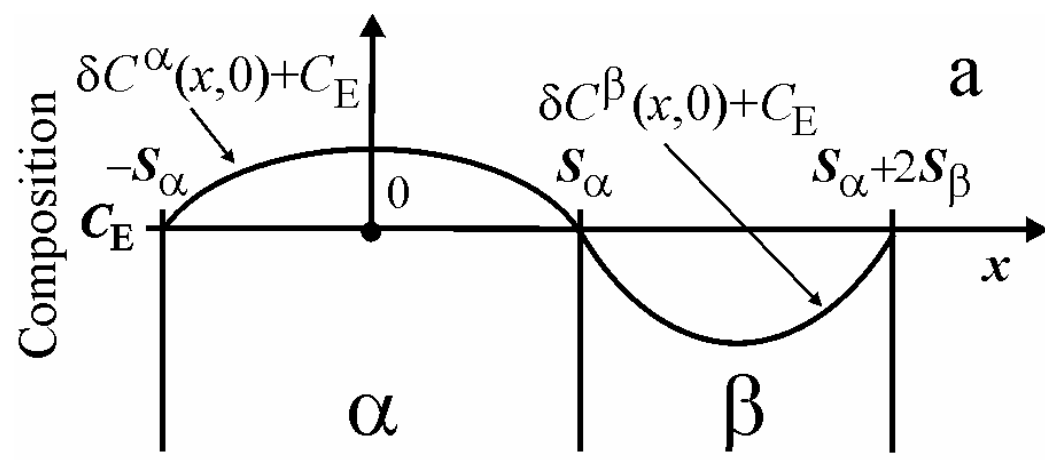


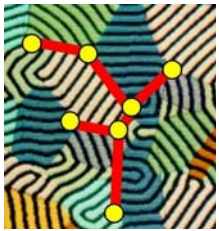
nie tylko jest spełniona równowaga mechaniczna ale także równowaga termodynamiczna w potrójnym punkcie frontu krystalizacji

mikro-pole stężenia składnika istnieje w fazie przejściowej, d (tuż ponad fazą wiodącą) tak jakby to była faza ciekła

RYS. 20

stężenie składnika
przechłodzenie





Uwagi końcowe



dla wolnej krystalizacji, typowej dla wzrostu kompozytu *in situ*

$$B_{2n-1} = A_{2n-1} \left(\frac{S_\alpha}{S_\beta} \right)^2, \quad n = 1, 2, \dots$$

$$\left| f_\beta \left(x \frac{S_\beta}{S_\alpha} \right) \right| = |f_\alpha(x)| \left(\frac{S_\alpha}{S_\beta} \right)^2$$

prezentowany opis mikro-pola stężenia składnika może być matematycznie zredukowany do równania Jacksona Hunta, jednakże pod warunkiem, że diagram fazowy byłby symetryczny co oznacza, że $C_0^\alpha = C_0^\beta$ a w konsekwencji $S_\alpha = S_\beta$ dodatkowo, wyprzedzenie fazowe staje się równe zero, $d = 0$, wtedy też C_E wraca do granicy fazowej α / β , a bilans masy staje się spełniony dla każdej współrzędnej, z



METRO

MEtalurgiczny TRening *On-line*

Transport masy przed frontem krystalizacji kompozytu *in situ*

Koniec wykładu



Edukacja i Kultura